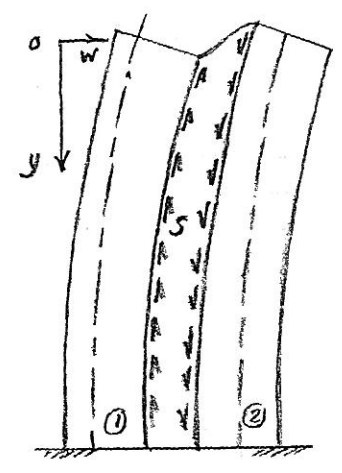
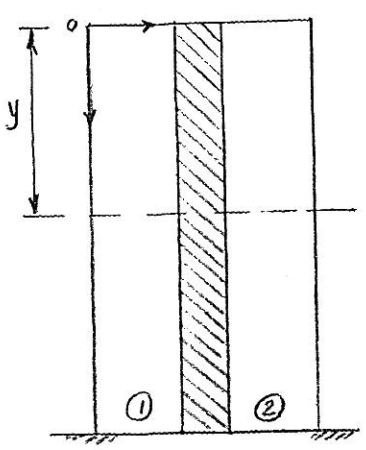
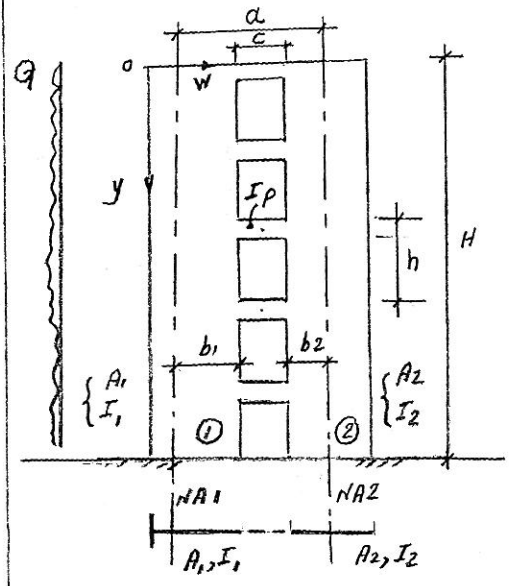
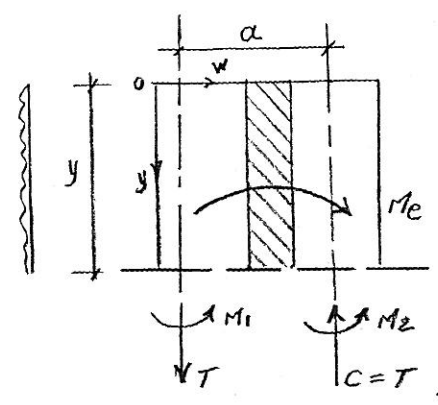


تحلیل دیوارهای کوچه باارستاده از روش «العقل برین بولتر»
 Shear Continuum Theory



الف - سادگی مدل



$$M_e = M_1 + M_2 + T \cdot a \quad (1)$$

Me، کشش خارج و M1، M2 کشش ایجاد شده در دیوار و T=C نیروی کوری دیوار است.

$$T = \int_0^y s \, dy \quad \rightarrow \quad s = dT/dy$$

نیروی T برابر با جرم برش آن است که از یک دیوار به دیگری منتقل می شود

$$M_1 = +EI_1 \, d^2w/dy^2$$

$$M_2 = +EI_2 \, d^2w/dy^2$$

معادلات مثبت جهت وضع محور است. (2)

$$M_1 = \frac{I_1}{I} M_b$$

$$M_2 = \frac{I_2}{I} M_b$$

$$\begin{cases} M_b = M_1 + M_2 \\ I = I_1 + I_2 \end{cases} \quad (3)$$

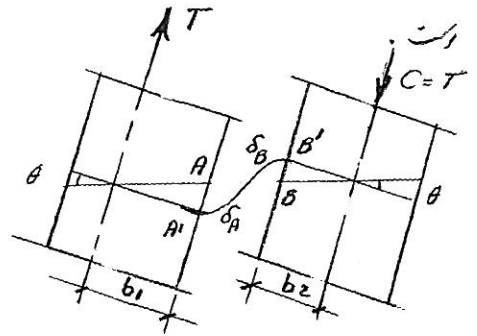
نتیجه سادگی (1) و (2) و (3) معادله (4) زیر است:

$$d^2w/dy^2 = (M_e - T \cdot a) / EI \quad (4)$$

ب- محاسبات حسابی

ب-۱- در دو دیوار

در اثر تنش و بکافتن و کشش ایجاد شده در دیوار ۱ و دیوار ۲ هم می شوند. تا در آن نقطه A کوتاه می شوند. تا در آن نقطه B بلند می شوند. تغییر طول ایجاد شده در هر کدام ناشی از دو اثر است: یک اثر مربوط به بارهای محوری و اثر دیگر مربوط به کشش است. تغییر طول B نسبت A جمع این آثار



$$AA' = \delta_A$$

$$BB' = \delta_B$$

$$\delta_A = \delta_A' + \delta_A''$$

$$\delta_A' = \int_y^H \frac{T}{EA_1} dy = \frac{1}{EA_1} \int_y^H T dy$$

- تغییر طول ناشی از بار محوری از پایه دیوار تا سطح A

$$\delta_A'' = -b_1 \cdot \theta = b_1 \frac{dw}{dy}$$

- تغییر طول ناشی از دوران سطح در A

$$\delta_A = \delta_A' + \delta_A'' = \frac{1}{EA_1} \int_y^H T dy + b_1 \frac{dw}{dy}$$

(5) ↑ از دیوار ۱ A

$$\delta_B = \frac{1}{EA_2} \int_y^H T dy + b_2 \frac{dw}{dy}$$

(6) ↓ کمانش دیوار ۲ B

$$\delta_{AB} = \delta_A + \delta_B$$

- تغییر طول B نسبت A

$$\delta_{AB} = \frac{1}{E} \left(\frac{1}{A_1} + \frac{1}{A_2} \right) \int_y^H T dy + (b_1 + b_2) \frac{dw}{dy}$$

(a-c)

$$\delta_{AB} = \frac{1}{E} \sum \left(\frac{1}{A} \right) \int_y^H T dy + (a-c) \frac{dw}{dy}$$

(7)

ج - ترکیب مدارهای متوالی و مدار همساز

اگر بجای $\frac{d^2 W}{dy^2}$ از مدار (4) در مدار (9) قرار داده شود، مدار زیر بدست می آید:

$$\frac{d^2 T}{dy^2} - \alpha^2 T = - \gamma \cdot Me \quad (10)$$

در این مدار پارامترهای α^2 و γ عبارتند از:

$$\alpha^2 = \frac{12 I_p}{C^3 h} \left[\frac{\alpha^2}{I_1 + I_2} + \left(\frac{1}{A_1} + \frac{1}{A_2} \right) \right] \quad (11)$$

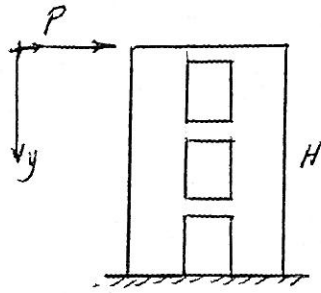
$$\gamma = \frac{12 \alpha I_p}{C^3 h (I_1 + I_2)} \quad (12)$$

دیانت K در مدار زیر:

$$\frac{\gamma \cdot a}{\alpha^2} = \frac{1}{K} \quad (13)$$

$$K = 1 + \frac{I_1 + I_2}{\alpha^2} \left(\frac{1}{A_1} + \frac{1}{A_2} \right) \quad (14)$$

پارامتر α^2 از بُعد L^{-2} و پارامتر γ از بُعد L^{-3} و دیانت K از بُعد L است.
 پارامتر αH از بُعد L است. درص مدار ریزان (10) پارامتر αH ظاهر می شود.



$$M_e = P \cdot y$$

فصل ۴ محاسبات دیوارهای کوبه زیر اثر بار متمرکز در رأس دیوار

$$\frac{d^2 T}{dy^2} - \alpha^2 T = -P M_e$$

۱- معادله دیفرانسیل عمومی:

$$T = -\frac{P P}{\alpha^3 \cosh \alpha H} \sinh \alpha y + \frac{P P}{\alpha^2} y$$

۲- مقدار T:

$$T = \frac{P H}{100 K \alpha} \bar{K}_1 \quad \bar{K}_1 = 100 K_1$$

$$K_1 = \frac{y}{H} \left[1 - \frac{1}{\cosh \alpha H} \cdot \frac{\sinh(\alpha H \cdot y/H)}{\alpha H \cdot y/H} \right]$$

مقدار \bar{K}_1 در جدول ضمیمه داده شده است.

۴- مقدار برش در اثر رالط بین دو دیوار:

$$V = \frac{P h}{K \alpha} K_3$$

$$K_3 = 1 - \frac{\cosh \alpha y}{\cosh \alpha H}$$

مقدار K_3 بر حسب $(1 - y/H)$ در دیگرام ضمیمه داده شده است.

مقدار $\bar{K}_3 = 100 K_3$ در جدول ضمیمه داده شده است.

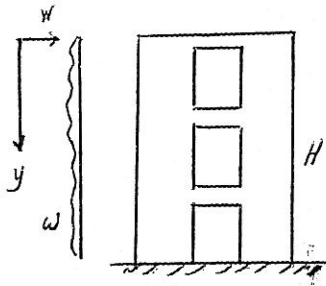
$$V = \frac{P h}{100 K \alpha} \bar{K}_3$$

۵- حداکثر تغییر شکل رأس دیوار را، w_{max} ، همان از رالط زیرین بگیرد:

$$w_{max} = \frac{P H^3}{3 E I} K_4$$

$$K_4 = 1 - \frac{3}{K} \left[\frac{1}{3} + \frac{\sinh \alpha H}{(\alpha H)^3 \cosh \alpha H} - \frac{1}{(\alpha H)^2} \right]$$

مقدار K_4 در دیگرام ضمیمه داده شده است.



فرد صدها است دیوارهای که به زیر اثر بار یکپارچه جانبی

$$M_e = \frac{1}{2} \omega y^2$$

$$\frac{d^2 T}{dy^2} - \alpha^2 T = -\nu M_e$$

۱- معادله انتگرال گیری از معادله:

۲- معادله T:

$$T = \frac{\omega \nu}{\alpha^4} \left(1 + \frac{\sinh \alpha H - \alpha H}{\cosh \alpha H} \sinh \alpha y - \cosh \alpha y + \frac{1}{2} \alpha^2 y^2 \right)$$

۳- معادله برش در تیرالجابین در دیوار:

$$V = \frac{\omega H h}{K \alpha} K_3$$

$$K_3 = \frac{\sinh \alpha H - \alpha H}{\cosh \alpha H} \cdot \frac{\cosh (\alpha H \cdot y/H)}{\alpha H} - \frac{\sinh (\alpha H \cdot y/H)}{\alpha H} + \frac{y}{H}$$

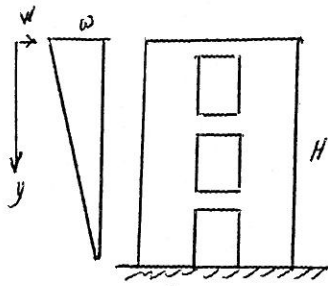
معادله K_3 بر حسب $(1 - y/H)$ در دیوار کم ضمیمه داده شده است

۴- معادله حد اکثر تغییر مکان رأس دیوار را w_{max} عنوان از زاویه زیر می آوریم:

$$w_{max} = \frac{1}{8} \frac{\omega H^4}{EI} K_4$$

$$K_4 = \frac{K-1}{K} - \frac{8}{K} \left[\frac{\alpha H \sinh \alpha H - \cosh \alpha H + 1}{(\alpha H)^4 \cosh \alpha H} - \frac{1}{2(\alpha H)^2} \right]$$

معادله K_4 در دیوار کم ضمیمه داده شده است.



خواهیم حالت را در دیوار که در زیر اثر بارشکنی جانبی زلزله

$$M_e = \frac{wy^2}{2} \left(1 - \frac{y}{3H}\right)$$

$$\frac{d^2 T}{dy^2} - \alpha^2 T = -\rho M_e$$

۱- مقدار دایفرانسیل اولی :

$$T = \frac{\rho w}{\alpha^4} \left[\frac{\sinh \alpha H - \frac{1}{2} \alpha H + \frac{1}{\alpha H}}{\cosh \alpha H} \sinh \alpha y - \cosh \alpha y - \left(\frac{\alpha^2 y^3}{6H} - \frac{\alpha^2 y^2}{2} + \frac{y}{H} - 11 \right) \right]$$

مقدار T در جدول همبسته شده است.

۲- مقدار بیش در تیر را با α بین دیوار :

$$V = \frac{wHh}{K\alpha} K_3$$

$$K_3 = \frac{\sinh \alpha H - \frac{1}{2} \alpha H + \frac{1}{\alpha H}}{\alpha H \cosh \alpha H} \cosh \alpha y - \frac{\sinh \alpha y}{\alpha H} + \frac{y}{H} - \frac{y^2}{2H^2} - \frac{1}{\alpha^2 H^2}$$

مقدار K_3 بر $(1 - 3/11H)$ در دیوار همبسته شده است.

۳- حداکثر تغییر مکان رأس دیوار را w_{max} و تغییر آن از رالغ زیر همبسته کرد :

$$w_{max} = \frac{11}{120} \frac{wH^4}{EI} K_4$$

$$K_4 = 1 - \frac{1}{K} + \frac{120}{11} \frac{1}{K \alpha^2 H^2} \left\{ \frac{1}{3} - \frac{1 + \left(\frac{1}{2} \alpha H - \frac{1}{\alpha H} \right) \sinh \alpha H}{\alpha^2 H^2 \cosh \alpha H} \right\}$$

مقدار K_4 در دیوار همبسته شده است.

On differentiating Eq. (3), it is found that the maximum shear force intensity is given by:

$$q_{max} = w \frac{H}{l} \frac{1}{\mu} K_3' \quad (9)$$

where K_3' is the value of the factor K_3 evaluated at the position where the maximum occurs, given by:

$$\xi = \frac{x}{H} = \frac{1}{aH} \log_e \left\{ \frac{\sinh aH + \cosh aH - aH}{\cosh aH - \sinh aH + aH} \right\}$$

The curve of K_3' is indicated on Fig. 4.

Deflections

From Eq. (3), the moment-curvature relationship for each wall is given by:

$$EI \frac{d^2y}{dx^2} = \frac{1}{2}wx^2 - Tl$$

$$\mu = 1 + \frac{A}{A_1 A_2} \frac{I}{F}$$

and

$$K_3 = \frac{\sinh aH - aH}{aH \cosh aH} \cosh \left(aH \frac{x}{H} \right) -$$

$$\frac{\sinh aH \frac{x}{H}}{aH} + \frac{x}{H}$$

In this case the shear forces depend on the geometrical parameters μ and a , and the height ratio x/H . Curves showing the variation of the factor K_3 with the parameters aH and the height ratio x/H are shown in Fig. 4.

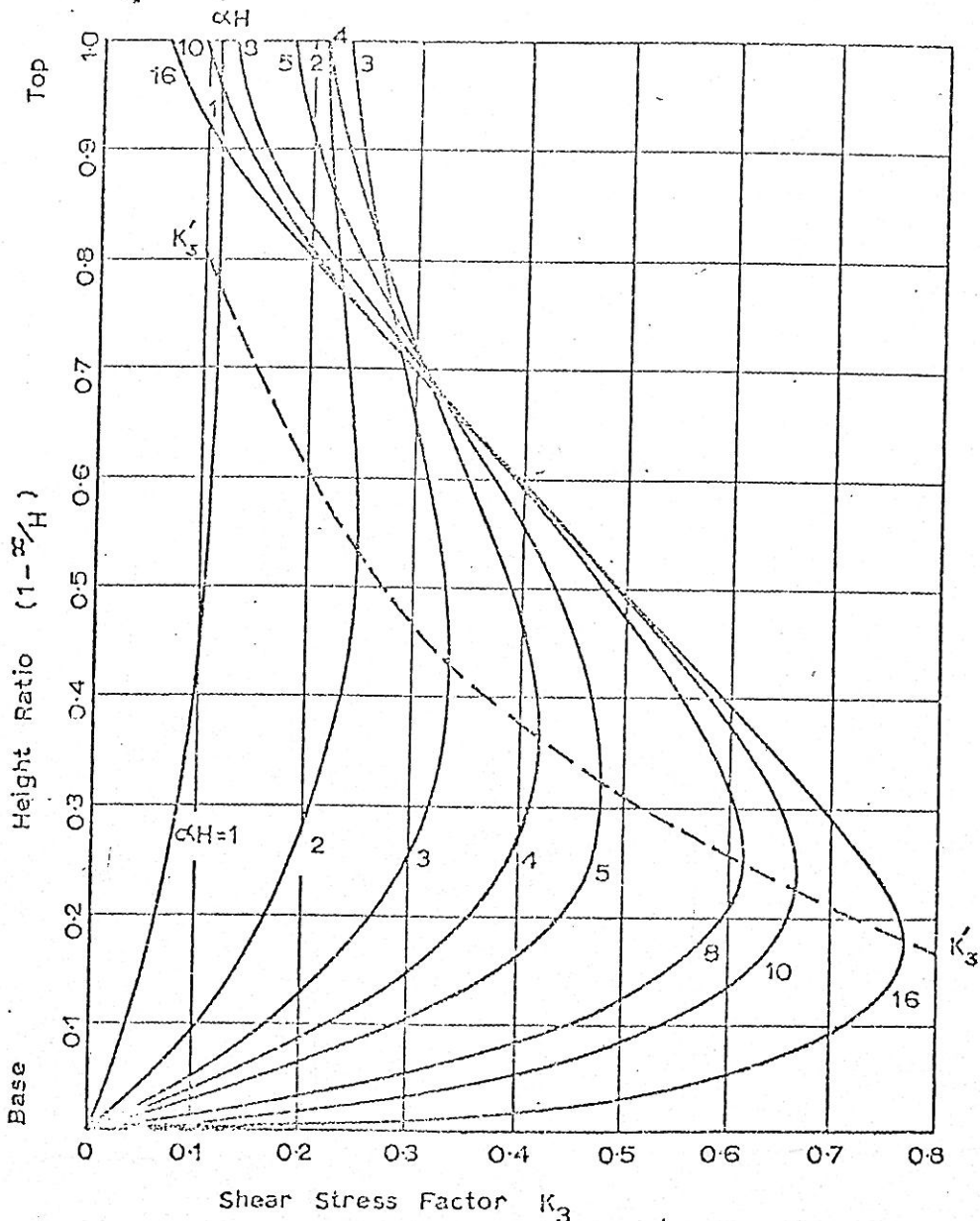


Fig. 4—Variation of connecting beam stress factor K_3

uniformly distributed load

where y is the deflection at any height. On integrating twice and inserting the appropriate boundary conditions, the deflection becomes:

$$y = \frac{1}{2} \frac{wH^3}{EI} \left\{ \left[\frac{1}{4} - \frac{1}{3} \frac{x}{H} + \frac{1}{12} \left(\frac{x}{H} \right)^2 \right] \left[1 - \frac{1}{\mu} \right] - \frac{2}{\mu} \left[\frac{(x/H)^2 - 1}{2(aH)^2} + \frac{aH(\sinh aH - \sinh ax) - \cosh a(H-x) + 1}{(aH)^4 \cosh aH} \right] \right\} \quad (10)$$

In particular, the maximum deflection at the top of the structure may be expressed as:

$$y_m = \frac{1}{8} \frac{wH^4}{EI} K_4 \quad (11)$$

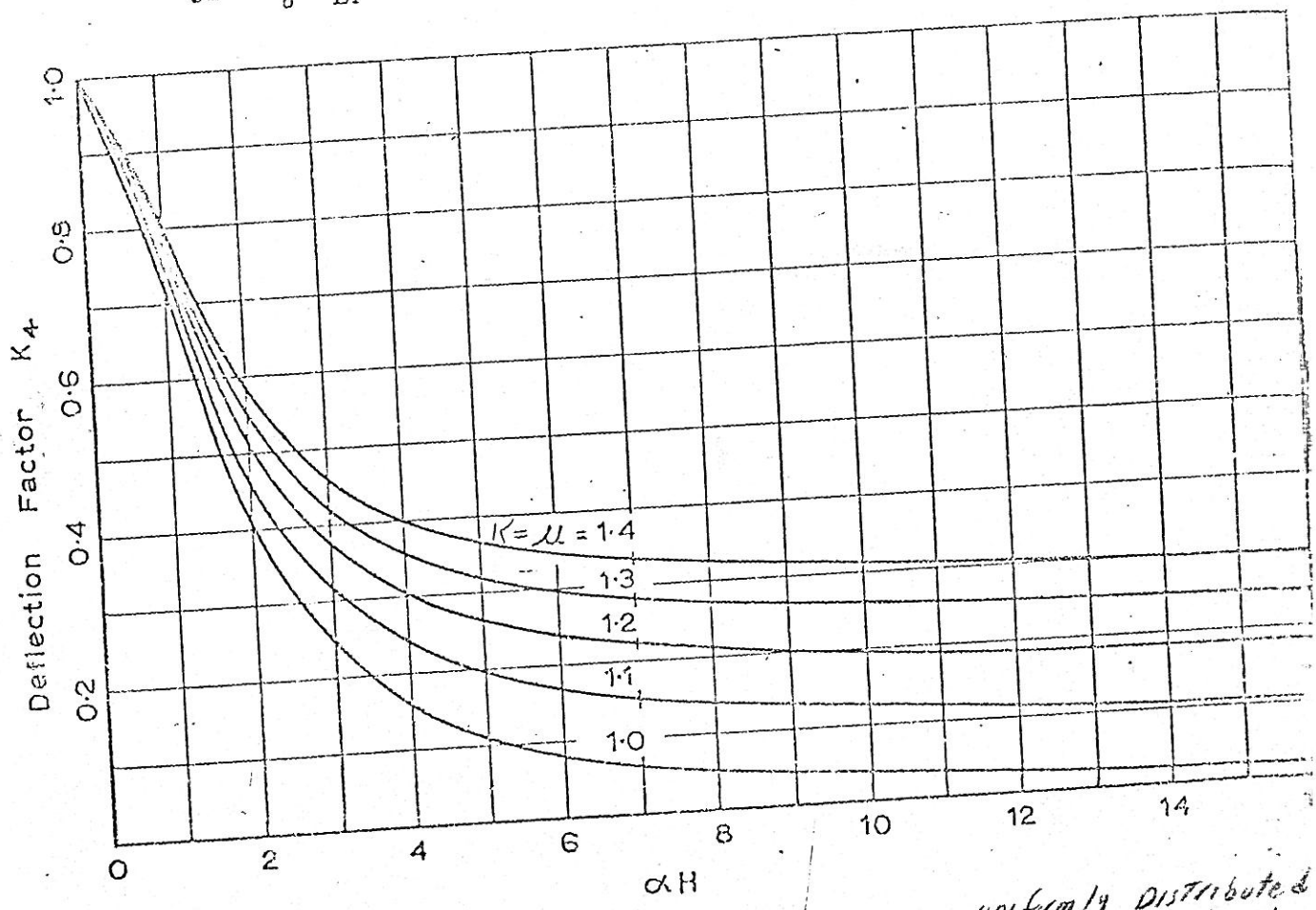


Fig. 5—Variation of Deflection Factor K_4

uniformly Distributed Load

where

$$K_4 = \frac{\mu - 1}{\mu} - \frac{8}{\mu} \left[\frac{aH \sinh aH - \cosh aH + 1}{(aH)^4 \cosh aH} - \frac{1}{2(aH)^2} \right]$$

The variation of the factor K_4 with the parameters αH and μ is shown in Fig. 5.

USE OF CURVES

Wall stresses

After evaluation of the stiffness parameter αH for the wall system, the proportions of the load carried by composite cantilever action K_2 , and individual cantilever action K_1 , may be determined from Fig. 3 for any height position. The bending stresses in the walls may then be obtained from ordinary beam theory, on superposition of the two distinct cases described in Eq. (5) and (6).

Stresses in connecting beams

The intensity of the shear forces in the equivalent continuous connecting medium is given by Eq. (8), the required coefficient K_3 being obtained

from Fig. 4. The shear force Q in any particular beam is given by the area underneath the curve between half-story height levels above and below the beam position. The shapes of the curves enable the maximum value of the shear force to be readily determined. The maximum bending moment in the connecting beam is then given by $\frac{1}{2} Qb$.

Shear Stress Factor

Shear stress $s = dT/dy$ $\rightarrow V = sh$

$$dT/dy = \frac{wYH}{\alpha^2} \left[\frac{\sinh \alpha H - \alpha H/2 + 1/\alpha H}{\alpha H \cosh \alpha H} \cosh \alpha y - \frac{\sinh \alpha y}{\alpha H} + \frac{y}{H} - \frac{y^2}{2H^2} - \frac{1}{2H^2} \right]$$

$$= \frac{wH}{K_3 \alpha} [\dots]$$

$$V = \frac{wHh}{K_3 \alpha} [\dots]$$

$$K_3 = \frac{\sinh \alpha H - \alpha H/2 + 1/\alpha H}{\alpha H \cosh \alpha H} \cosh \alpha y + \frac{\sinh \alpha y}{\alpha H} + \frac{y}{H} - \frac{y^2}{2H^2} - \frac{1}{2H^2}$$

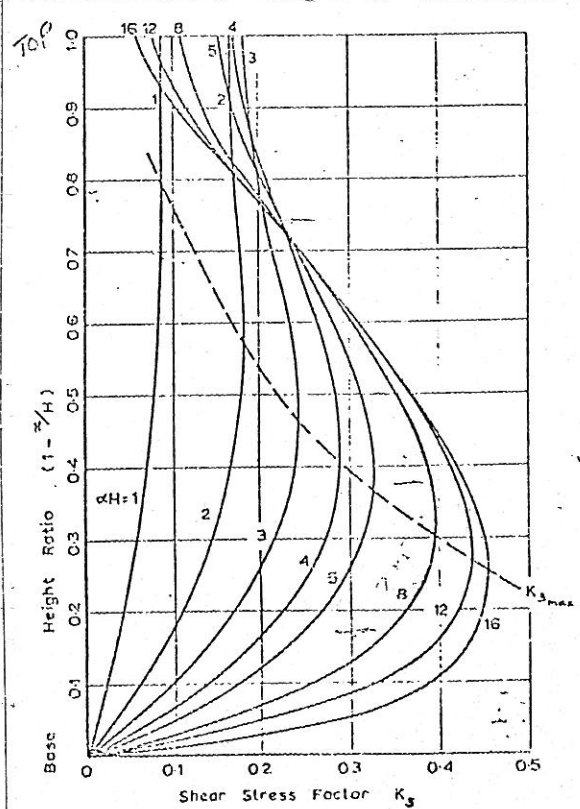


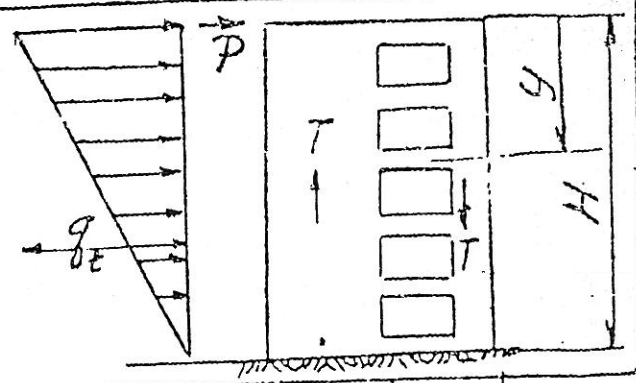
Fig. 5—Variation of connecting beam stress factor K_3 for triangularly distributed load

$$T = \frac{q \cdot H^2}{8E \cdot 100aR} \text{ coef}$$

or

$$T = \frac{PH}{100aR} \text{ coef}$$

$$R = 1 + \frac{I_1 + I_2}{a^2} \left(\frac{1}{A_1} + \frac{1}{A_2} \right)$$

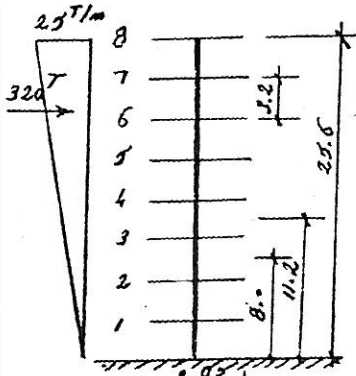


Triangular load

Concentrated

y/H	.5	1.0	2.0	3.0	4.0	5.0	6.0	8.0	10.0	15.0	20.0
0	0.00	0.00	0.00	0.00	0.00	0.00	0.00	0.00	0.00	0.00	0.00
.1	0.28	0.86	1.66	1.84	1.75	1.59	1.43	1.18	1.01	0.78	0.67
.2	0.56	1.71	3.37	3.80	3.70	3.45	3.19	2.79	2.53	2.20	2.06
.3	0.84	2.58	5.14	5.93	5.93	5.69	5.42	4.98	4.70	4.36	4.22
.4	1.11	3.41	6.95	8.23	8.46	8.34	8.13	7.76	7.51	7.20	7.08
.5	1.36	4.23	8.76	10.63	11.22	11.34	11.28	11.06	10.88	10.69	10.54
.6	1.59	4.97	10.50	13.06	14.12	14.55	14.72	14.76	14.71	14.57	14.50
.7	1.79	5.62	12.08	15.36	16.96	17.81	18.27	18.70	18.84	18.88	18.85
.8	1.95	6.14	13.39	17.34	19.51	20.90	21.63	22.55	23.00	23.39	23.47
.9	2.05	6.48	14.30	18.77	21.40	23.11	24.29	25.78	26.64	27.66	28.04
1.0	2.09	6.61	14.64	19.33	22.17	24.08	25.45	27.28	28.43	30.03	30.85
0	0.00	0.00	0.00	0.00	0.00	0.00	0.00	0.00	0.00	0.0	0.0
.1	1.13	3.51	7.32	8.99	9.62	9.86	9.95	9.99	10.00	10.0	10.0
.2	2.23	6.95	14.54	17.89	19.19	19.68	19.87	19.98	20.00	20.0	20.0
.3	3.30	10.26	21.54	26.60	28.62	29.43	29.76	29.95	29.99	30.0	30.0
.4	4.29	13.38	28.20	35.00	37.82	39.02	39.55	39.90	39.97	40.0	40.0
.5	5.20	16.23	34.38	42.95	46.68	48.37	49.17	49.77	49.93	50.0	50.0
.6	5.99	18.74	39.94	50.26	55.00	57.3	58.49	59.49	59.82	60.0	60.0
.7	6.65	20.84	44.69	56.68	62.50	65.54	67.25	68.87	69.50	69.9	70.0
.8	7.15	22.45	48.43	61.90	68.79	72.64	74.98	77.48	78.65	79.7	79.9
.9	7.47	23.48	50.90	65.48	73.26	77.87	80.85	84.38	86.32	88.5	89.3
1.0	7.58	23.84	51.80	66.83	75.02	80.00	83.33	87.50	90.00	93.3	95.0

دو دیوار برش بصورت زیر با یکدیگر هم لسته شده اند و برای محاسبه فنس از بار جانبی زلزله در یک ساختمان جهت تهیه کار گرفته شده اند. اگر نیروی زلزله وارد بر این دیوارها $V_0 = 320 T$ باشد تعیین کنید:



الف - بار محموله وارده بر دیوار در تراز وسط طبقات دوم و سوم

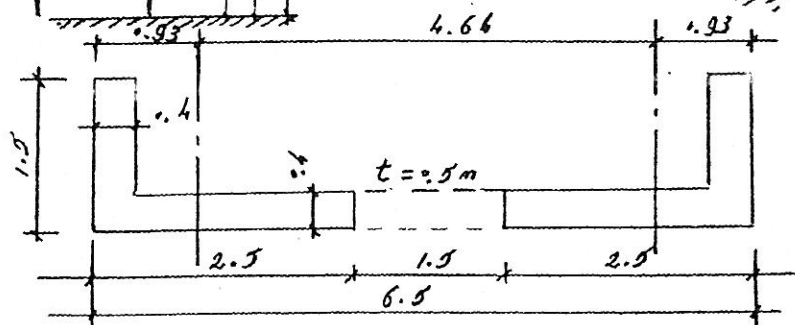
ب - مقدار اسفن وارده بر دیوار در تراز وسط طبقه دوم

ج - برش وارده بر تیر هم بند در سقف طبقه دوم

د - طراحی تیر هم بند

ه - تیر میلان جانبی رأس دیوار

و - طراحی دیوار برای برش

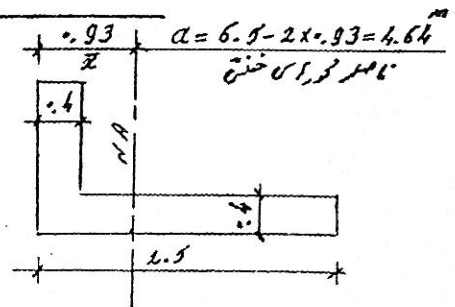


$$A = 2.5 \times 0.4 + 1.1 \times 0.4 = 1.44 \text{ m}^2$$

$$\bar{x} = (2.5 \times 0.4 \times 1.25 + 1.1 \times 0.4 \times 0.2) / 1.44 = 0.93 \text{ m}$$

$$I = \frac{1}{12} \times 0.4 \times 2.5^3 + 0.4 \times 2.5 \times 0.32^2 +$$

$$\frac{1}{12} \times 1.5 \times 0.4^3 + 1.5 \times 0.4 \times 0.73^2 = 0.95 \text{ m}^4$$



$$A = 1.44 \text{ m}^2 \quad I = 0.95 \text{ m}^4 \quad a = 4.64 \text{ m} \quad C = 1.5 \text{ m} \quad h = 3.2 \text{ m} \quad H = 25.6 \text{ m}$$

$$t = 0.5 \text{ تیر هم بند} \quad b = 0.4 \quad I_p = \frac{1}{12} \times 0.4 \times 0.5^3 = 0.00417 \text{ m}^4$$

$$\alpha^2 = \frac{12 I_p}{C^3 h} \left[\frac{a^2}{I_1 + I_2} + \left(\frac{1}{A_1} + \frac{1}{A_2} \right) \right]$$

$$\alpha^2 = \frac{12 \times 0.00417}{1.5^3 \times 3.2} \left[\frac{4.64^2}{2 \times 0.95} + \frac{2}{1.44} \right] = 0.59 \text{ m}^{-2} \quad \alpha = 0.243 \text{ m}^{-1} \quad \alpha H = 6.22 \text{ m}^{-1}$$

$$f = \frac{12 \alpha I_p}{C^3 h (I_1 + I_2)} = \frac{12 \times 4.64 \times 0.00417}{1.5^3 \times 3.2 \times 2 \times 0.95} = 0.113 \text{ m}^{-3}$$

$$\frac{1}{K} = \frac{f a}{\alpha^2} = \frac{0.113 \times 4.64}{0.243^2} = 0.888 \quad K = 1.126$$

1- نیروهای خمشی در ارتفاع 8 m و 11.2 m

$\bar{H} = 8.0$ $y = H - \bar{H} = 25.6 - 8.0 = 17.6$ m $y/H = 0.7$

$\alpha y = 0.243 \times 17.6 = 4.28$ $\alpha H = 6.22$

$T = \frac{\omega \Gamma}{\alpha^4} \left\{ \frac{\sinh \alpha H - \alpha H/2 + 1/\alpha H}{\cosh \alpha H} \sinh \alpha y - \cosh \alpha y - (\alpha^2 y^3/6H - \alpha^2 y^2/2 + y/H - 1) \right\}$

$T = \frac{\omega \Gamma}{\alpha^4} \left\{ \frac{248.4}{251.4} \times 36.11 - 36.13 - (-7.32) \right\} = \frac{\omega \Gamma}{\alpha^4} \times 6.87 = \frac{25 \times 0.113}{0.243^4} = 557^T$

$T(\text{مجدول}) = \frac{\rho H^2}{100 \alpha K} \{ \text{Coef} \} = \frac{25 \times 25.6^2}{100 \times 4.64 \times 1.126} \times 18.35 = 576^T$

$\bar{H} = 11.2$ m $y = H - \bar{H} = 14.4$ $y/H = 0.56$ $\alpha y = 3.5$ $\alpha H = 6.22$

$T = \frac{\omega \Gamma}{\alpha^4} \left\{ \frac{248.4}{251.4} \times 16.54 - 16.57 - (-5.42) \right\} = \frac{25 \times 0.113}{0.243^4} \times 5.2 = 421^T$

$T(\text{مجدول}) = \frac{25 \times 25.6^2}{100 \times 4.64 \times 1.126} \times 13.0 = 408^T$

2- گزراش فشر در ارتفاع 8 m

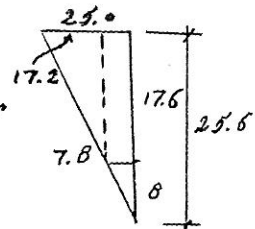
$\bar{H} = 8.0$ $\omega_B = 8 \times 25 / 25.6 = 7.8$ T/m

$M_e = 7.8 \times 17.6^2 / 2 + 17.2 \times 17.6^2 \times \frac{1}{2} \times \frac{2}{3} = 2984$ T-m

$M_e(\bar{H}=0) = 25 \times 25.6^2 \times \frac{1}{2} \times \frac{2}{3} = 5461$ T-m

$M_e(8) / M_e(0) = 55\%$

$M_1 = M_2 = \frac{1}{2} (2984 - 557 \times 4.64) = 200$ T-m

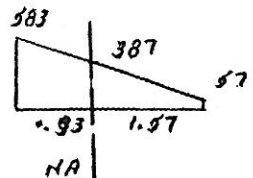


گزراش فشر ترکیب از بارها

تنش آس ایجاد شده در دو انتهای دیوار

$f_{c1} = \frac{557}{1.44} + \frac{200}{0.95} \times 0.93 = 387 + 196 = 583$ T/m²

$f_c = \frac{557}{1.44} - \frac{200}{0.95} \times 1.57 = 387 - 330 = 57$



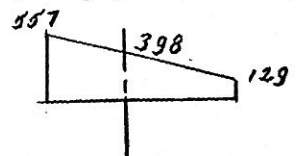
گور در دیوار یکبارگی کار می‌کند، تنش آس بجز در زیر می‌باشد:

$I_{TOT} = 2(0.95 + 1.44 \times 2.32^2) = 17.4$ m⁴

$f_{c1} = \frac{2984 \times 3.25}{17.4} = 557$ T/m²

$f_{c2} = \frac{2984 \times 0.75}{17.4} = 129$

$f_{cm} = \frac{2984 \times 2.32}{17.4} = 398 \rightarrow T = 573$
 $M_1 = 162$ T-m



۳- بیش در ترم بسته در ارتفاع 9.6 m

$\bar{H} = 9.6 \text{ m}$ $y = 25.6 - 9.6 = 16.0 \text{ m}$ $y/H = 0.625$ $\alpha y = 3.9$

$$V = \frac{\omega H h}{K \alpha} \left[\frac{\sinh \alpha H - \alpha H/2 + 1/\alpha H \cosh \alpha y - \frac{\sinh \alpha y}{\alpha H} + \frac{y}{H} - \frac{y^2}{2H^2} - \frac{1}{\alpha^2 H^2} \right]$$

$$V = \frac{\omega H h}{K \alpha} \left[\frac{248.6}{1563.7} \times 24.71 - 3.97 + 0.404 \right] = \frac{\omega H h}{K \alpha} [0.36]$$

$$V = \frac{25 \times 25.6 \times 3.2}{1.125 \times 4.64} [0.36] = 141 \text{ T}$$

$$V (\text{جدول}) = \frac{\rho H h}{100 \alpha K} (\text{coef}) = \frac{25 \times 25.6 \times 3.2}{100 \times 4.64 \times 1.125} [38] = 148 \text{ T}$$

بیش در ترم بسته را می توان از تفاوت بین نیروهای گرمی در بالا و پایین تر بدست آورد:

$$V = T(8) - T(11.2) = 557 - 421 = 136 \text{ T}$$

۴- طراحی ترم بسته

$V_u = 141 \text{ T}$

$b \times t = 40 \times 50 \text{ cm}$ $V_{cd} = 5.3 \text{ Kg/cm}^2$ $V_{cd} = 5.3 \times 40 \times 45 = 9540 \text{ Kg} \approx 10 \text{ T}$

$V_u / V_{cd} = 14.1 > 5.0$ بیش ضعیف تر بود است. با این ارتفاع نمی توان از عصبه کن برآید.

ارتفاع ترم بسته $t = 100 \text{ cm}$ افزایش داده می شود.

$$I_p \left(\frac{100}{50} \right)^3 \times 0.00417 = 0.334 \rightarrow \alpha = (0.0059 \times 2^3)^{1/2} = 0.69 \quad \alpha H = 17.6 \text{ m}$$

$$y/H = 0.625 \rightarrow [\text{coef}] = [42] \rightarrow V = 164 \text{ T}$$

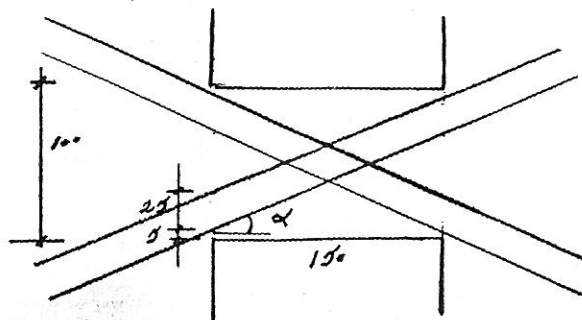
دیوار با ارتفاع ترم در حدود عدد داده شده طراحی می کنند و V نیز زیاد می شود.

$V_u = 164 \text{ T}$

$V_{cd} = 20 \text{ T}$

$V_u / V_{cd} = 8.0 > 5.0$

$V_u > 5 V_{cd}$ بر این اساس باید در جهت قبول نیست، ولی اگر از آن قبول کنیم اگر با توجه به نیاز لازم بود



زیر خاک می خورد:

$$\tan \alpha = 65/115 = 0.43$$

$$\alpha = 23.3^\circ \quad \sin \alpha = 0.4$$

$$A_u = V_u / 2 \sin \alpha \cdot f_{yd}$$

$$A_u = 164 / 2 \times 0.4 \times 3.4 = 60 \text{ cm}^2$$

$$8 \text{ T} 30 \rightarrow A_u = 86 \text{ cm}^2 \text{ OK}$$

د- تیر مکان جانبی رأس دیوار

$$W_{max} = \frac{11}{120} \frac{WH^4}{EI} K_4$$

$$K_4 = 1 - \frac{1}{K} + \frac{120}{11} \frac{1}{K \alpha^2 H^2} \left[\frac{1}{3} - \frac{1 + \left(\frac{\alpha H}{2} - \frac{1}{\alpha H} \right) \sinh \alpha H}{\alpha^2 H^2 \cosh \alpha H} \right]$$

$$K_4 = 1 - 0.89 + 0.25 [0.33 - 0.076] = 0.174$$

$$W = \frac{11}{120} \times \frac{25 \times 25.6^4}{210 \times 10^4 \times 2 \times 0.95} \times 0.174 = 0.043 \text{ m}$$

اگر دیوار را به صورت یکپارچه کار می‌کنند، W برابر با:

$$I_{TOT} = 17.4 \text{ m}^4$$

$$W = \frac{11}{120} \frac{WH^4}{EI_{TOT}} = \frac{11}{120} \times \frac{25 \times 25.6^4}{210 \times 10^4 \times 17.4} = 0.027 \text{ m} \approx 0.63 \times 0.043$$

ف- طراحی دیوارهای با سربش

$$V_u = 320 \text{ T} \quad \bar{V}_u = 0.5 V_u = 160 \text{ T} \quad \text{بیشتر دیکر}$$

$$l_w = 2.5 \text{ m} \quad t = 0.4 \text{ m} \quad d = 0.8 l_w = 2.0 \text{ m}$$

$$V_{cd} = 5.3 \text{ kg/cm}^2 \quad V_{cd} = 42.4 \text{ T} \quad \bar{V}_u / V_{cd} = 3.8 < 5.0$$

$$\bar{V}_u = V_{cd} + A_u f_y d / S$$

$$160 = 42.4 + A_u \times 3.4 \times 2.0 / S \quad \rightarrow \quad A_u / S = 17.3$$

$$S = 20 \text{ cm} \quad \rightarrow \quad A_u = 3.4 \text{ cm}^2 \quad \underline{2 \times 16 \text{ } 120 \text{ cm}}$$